

manifold からの噴流列の特性について

大阪大学工学部 正員 村岡 浩爾
大阪大学大学院 学生員 清水 洋

1. 序

二次元噴流の発生装置は実験的には容易に作製できるが、実用的には orifice を列状に並べたものが有用と考えられる。ところで、水噴流の單一の二次元・三次元噴流は幾多の研究があるが、manifold type についてはほとんど基礎的研究がない。ここに、筆者らは一昨年來の三次元および二次元鉛直上向噴流の実験に就いて行った manifold type の噴流における流速測定の結果を報告する次第である。

2. 実験装置と実験方法

実験に用いた水槽は $1^m \times 30^m \times 0.8^m$ の鉄製水槽（前面は観測のためガラス製）の中央を横方向に塗化ビニール製隔壁板で仕切って幅 0.4^m とし、この水槽の中間部に図-1 に示すよくな manifold を有する鋼管を設置し噴流を発生させる。鋼管に設けた manifold は千鳥状に二列に配置されている。噴流管から噴出された水は噴流管から左右各々約 10^m 離れた吸入口からポンプに導かれ、再び噴流管に至る。

鉛直方向流速測定はピトーメーターにより、また、噴流が水面に衝突した後の水平流速測定はプロペラ式流速計によって行った。実験種類はかがり水深 x_0 が二種類 ($220^m, 455^m$)、孔径 d_0 が二種類 ($2^m, 1^m$) の組合せで行った。なお、流量の測定には Bentury meter を使用した。

3. 鉛直方向流速分布

a. 中心線流速について

manifold type の噴流での中心線の規定がしがたい。まず、一つの orifice の中心位置を通る鉛直軸を考え、これに沿う流速測定の一例が図-2 である。横軸は噴出孔からの距離 x を換算スリット幅 d_0 ($d_0 = A/l$, ここで A は總 orifice 断面積, l は manifold の長さ 0.04^m) で無次元化したものであり、縦軸は流速 U を最大流速 U_{max} で無次元化したものである。図中の実線、点線は Alberston による二次元・三次元の無限噴流の結果である。こりによると、manifold 噴流の中心線流速の減衰勾配は多少のはつきはあるが、二次元の場合より一と三次元の場合の一との間にあると言えようである。また、potential core の大きさを正確に測定することは困難であった。

図-3 は B 点、C 点（同図参照）を通る鉛直軸に沿う測定の結果である。縦軸は U を U_{max} で無次元化したものであり、横軸は U を U_{max} で無次元化したものである。C 点に関する流速は $x=0$

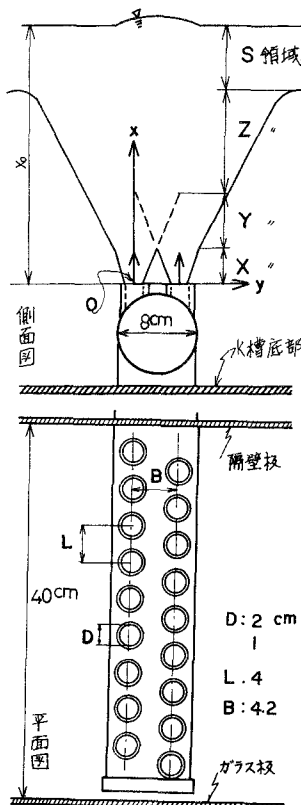


図-1 実験装置

で0であり、 U がある値になるとまで0の状態が続き（これは後述するX領域の存在を意味する）、こゝ後、 U の増加と共に増してゆき、B点に関する流速とほど等しくなつた後、減少してゆく傾向がみられる。水深の小さい場合 ($X_0=22.0\text{cm}$)、C点に関する流速とB点に関する流速の値は水面近くで接近するが、水深の大きい場合 ($X_0=45.5\text{cm}$)、こゝ接近は噴流乱れ近くに下ってくることがあわがる。

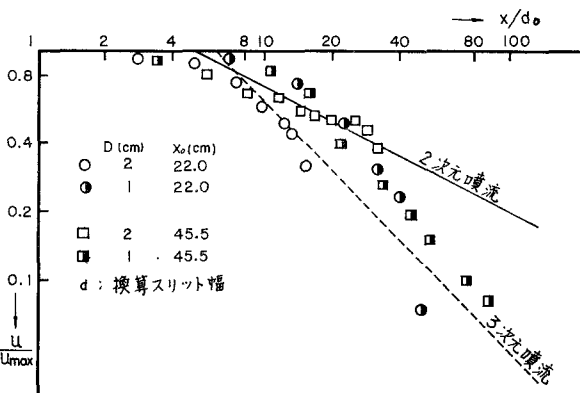


図-2 中心線流速 (Case 1)

b. X-Y-Z-S領域の流速分布について
manifoldによる噴流の場を以下のように
にX-Y-Z-S領域に分類して考えよう。すなわち、
X領域：各 orifice から噴流が單独の三次元噴
流と考えられる領域。

Y領域：X-Z領域の遷移領域であつて、始めに
三次元噴流が互いに干渉し合い、徐々
に二列の二次元噴流が干渉として双頭
型の流速分布を示すような領域。

Z領域：噴流が完全に混合し合つて一つの二次
元噴流の特性を示す領域。

S領域：水面による stagnation 効果を受けて噴
流が水平方向に向う領域。

この分類に従つてそり境界を明さうかにあつた必要があつる。
まず、X-Y領域の境界に関しては Albertson の三次元噴流の
式²⁾

$$\frac{U}{U_0} = \exp \left[- \frac{(r_1 C_1 x - \frac{D}{2})^2}{2 C_1^2 x^2} \right] \quad \cdots \cdots \text{A領域} \quad (1)$$

$$\frac{U}{U_0} = \frac{1}{2} \cdot \frac{D}{x} \exp \left[- \frac{r^2}{2 C_1^2 x^2} \right] \quad \cdots \cdots \text{C領域} \quad (2)$$

U_0 : 出口流速 C_1 : 実験常数

を用ひ、図-4のA点を通る鉛直線上での各 orifice による流
速の和が1%となる点をX領域の終端と定義し、こゝX
座標を x_X とおき、 x_0 , R_0 の関係を計算したものが同図の曲
線群である。ここに、 $C_1=0.1$ とした。本実験の場合、 $D=2\text{cm}$ では
 $x_X=21$, $R_0=20$ である。これから $x_X=6\text{cm}$ となる。

次に、Y-Z領域の境界に関しては Albertson の二次元噴流の式

$$\frac{U}{U_0} = \sqrt{\frac{1}{\pi} \cdot \frac{d}{x}} \exp \left[- \frac{y^2}{2 C_2^2 x^2} \right] \quad \cdots \cdots \text{C領域} \quad (3)$$

d : スリット幅

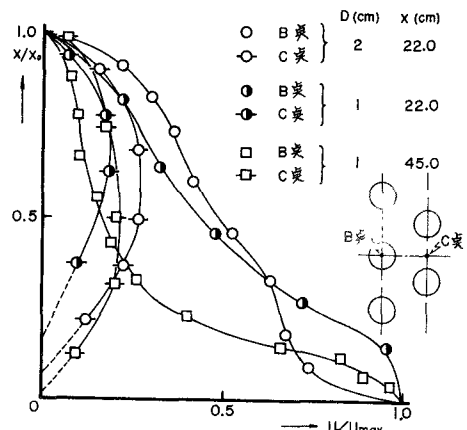


図-3 中心線流速 (Case 2)

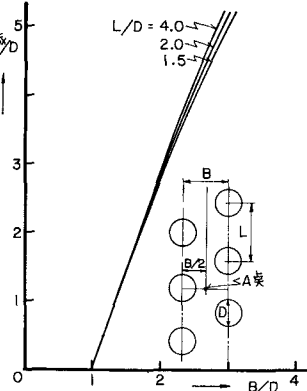


図-4 算出計算曲線

を用い、manifold噴流を二列の二次元噴流から成るとみなし、各々の流速分布形を重ね合わせたものと考へ、二つの噴流の中間の位置における流速が極大となる点をX領域の始端と定義し、このX座標を x_0 とおいて、 x_0 , D , C_2 の関係を表めしたのが図-5である。これによると、本実験の場合、 $C_2=0.19$ とすると $x_0 \approx 10\text{cm}$ となる。

図-6は $x_0=45.5\text{cm}$, $D=2\text{cm}$ の場合の管断面にかけた流速の実測値であり、 $x=5\text{cm}$ における最大流速を U_0 と仮定して無次元化したものである。図中の曲線は、 $x=5\text{cm}$ の場合には、(1)式において $C_2=0.2$ とし、各 orifice の流速を重ね合わせて計算したものであり、 $x=15\text{cm}$ 以上の場合には、(3)式において $C_2=0.19$ と仮定して各点の流速が二列の二次元噴流の流速の和であるとして計算したものである。いずれも出口流速 U_0 で無次元化している。この計算の結果と実測値を比較してみると、 $x=5\text{cm}$ ではX領域として、 $x=15\text{cm}$ 以上ではY領域として説明できるようである。 $x=40\text{cm}$ の実測値が計算値より多少下側に位置するのはY領域がすでにX領域に入っているためと考えられる。

4. 水平方向流速分布

Stagnant regionを離れた流れは水面沿いに水平方向に放散する。水平流は二次元的に取扱われ、測定の一例を図-7に示す。水平流流速分布は噴流軸付近を除いてはTollmien型の噴流流速分布となる。ただし、やがて水深の約三倍以上の距離になるとその分布形は乱れ、間水路の水流のように流下する。水平流の最大値 U_{max} は噴流衝突によって生ずる水面のhumpの終端付近の水面下へと下層部に生ずる。 U_{max} の生ずる位置を y_0 とし、これをy₀と水深、流量に関して整理したのが図-8である。横軸は単位幅あたりの噴出 momentum flux $M_0 = \rho d u_0^2$ (d : 計算スリット幅) で表わされる。測定値は y_0 ばかりくがこれによつて実験的に先ほどの式で示される。ただし、 D は 2cm の場合である。

$$x_0=22.0\text{cm} \text{ 時 } \frac{y_0}{x_0} = 1.40 \left(\frac{M_0}{\rho g x_0} \right)^{\frac{1}{2}}, \text{ わざいは } y_0 = 3.291 g^{\frac{1}{3}} (\text{cm-s 単位}) \quad \left. \right\} (4)$$

$$x_0=45.5\text{cm} \text{ 時 } \frac{y_0}{x_0} = 0.93 \left(\frac{M_0}{\rho g x_0} \right)^{\frac{1}{2}}, \text{ わざいは } y_0 = 3.556 g^{\frac{1}{3}} (\text{cm-s 単位}) \quad \left. \right\} (4)$$

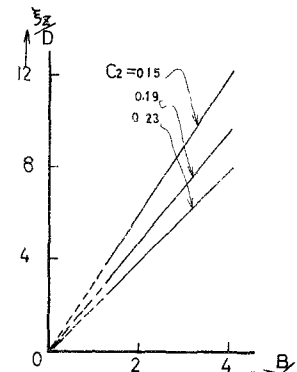


図-5 x_0 の計算曲線

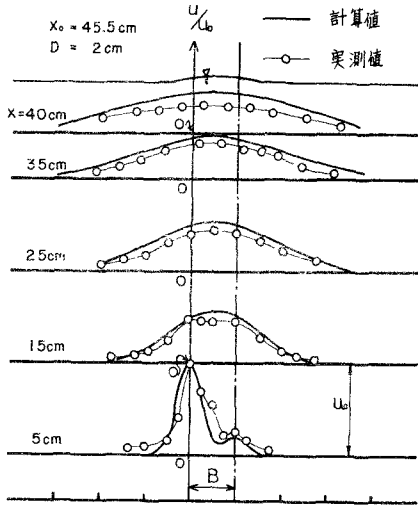


図-6 鉛直方向流速分布

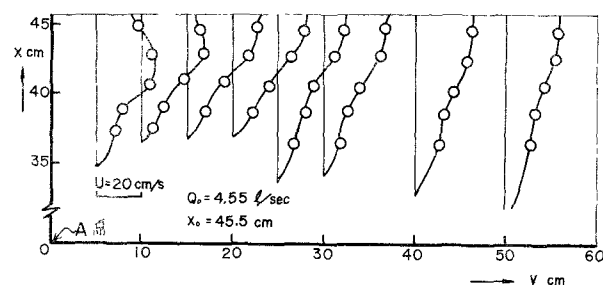


図-7 水平方向流速分布

$x_0=22.0\text{cm}$ の時 $\frac{y_0}{x_0} = 1.40 \left(\frac{M_0}{\rho g x_0} \right)^{\frac{1}{2}}$, わざいは $y_0 = 3.291 g^{\frac{1}{3}} (\text{cm-s 単位})$

$x_0=45.5\text{cm}$ の時 $\frac{y_0}{x_0} = 0.93 \left(\frac{M_0}{\rho g x_0} \right)^{\frac{1}{2}}$, わざいは $y_0 = 3.556 g^{\frac{1}{3}} (\text{cm-s 単位})$

ここに、 x_0 は噴出する単位長さ当たりの噴出流量である。次に、 U_{max} の値を測定し整理したのが図-9である。実験的に U_{max} を求める関係式は以下通りである。

$$\left. \begin{aligned} x_0 = 22.0 \text{ cm の時 } U_{max}/\sqrt{gx_0} &= 2.0 \left(M_0 / g x_0 \right)^{\frac{1}{2}}, \text{ あるいは } U_{max} = 0.358 \text{ g} \quad (\text{cm-s 単位}) \\ x_0 = 45.5 \text{ cm の時 } U_{max}/\sqrt{gx_0} &= 2.5 \left(M_0 / g x_0 \right)^{\frac{1}{2}}, \text{ あるいは } U_{max} = 0.312 \text{ g} \quad ("') \end{aligned} \right\} \quad (5)$$

(4)式、(5)式より、 x_0 は既定した場合、 U_{max} は M_0 に比例するといえせる。そして、比例常数は x_0 のみに関する。しかししながら、使用する manifold の形状（すなわち、D, B, L の値）が変われば比例常数は若干異なるはずであり、種々の manifold の形状について実験を行なう必要があるであろう。

5. 結語

manifold からの噴流域を X, Y, Z および S 領域に分類することにより、観察を具体化することが可能にかつたが、計算値と実測値は未だ若干の相異がみられる。その相異は Albertson 係数の決定の困難さ、およびがる水深と装置の形状による不確定要素が多いためであろう。したがって、 X, D, B, L を種々に変えたうらに多くの実験を行うことが必要であろう。

6. 謝辞

本研究に関し本学室田明教授より適切な助言をいただいた。ここに深く謝意を表する。また、実験に用いた資料の整理、測定、大学院生中山茂雄氏（現運輸省勤務）、および学部学生行口剛也氏（現藤田組勤務）に協力を得た。

参考文献：

- 1) 望田利嗣、鉛直上向き噴流に関する実験的研究 第11回水理講演会講演集 1967
- 2) M. Albertson ; Diffusion of Submerged Jets Proceedings of A.S.C.E. Vol. 74 1948

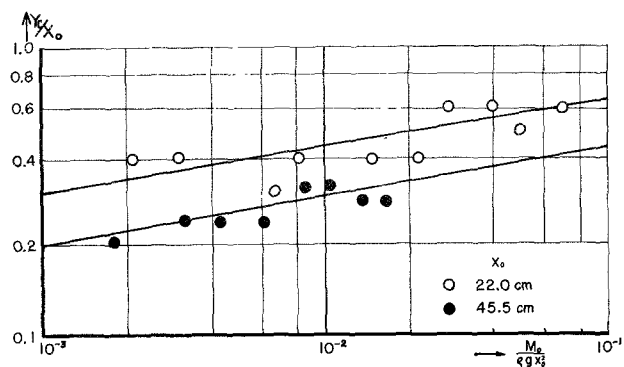


図-8 むき値に関する測定値

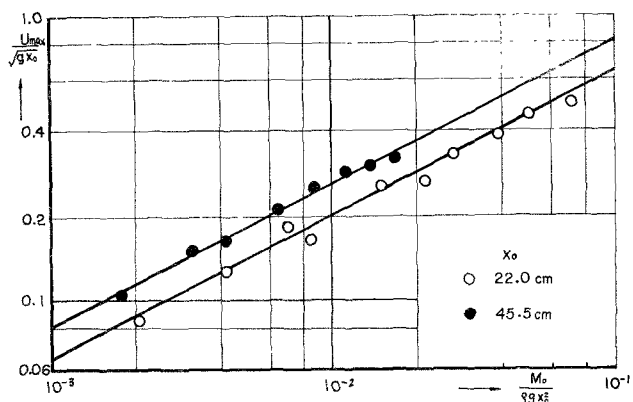


図-9 U_{max} の値に関する測定値